



УДК 547.458:547.995.12:543.422.4

## ИК-СПЕКТРОСКОПИЧЕСКОЕ ОПРЕДЕЛЕНИЕ СТЕПЕНИ АЦЕТИЛИРОВАНИЯ ХИТИНА

© 1995 г. В. П. Глазунов, С. Е. Одноков

Тихоокеанский океанологический институт ДВО РАН,  
690041, Владивосток, ул. Балтийская, 43

Поступила в редакцию 27.12.94 г.

Предложен способ определения степени ацетилирования хитина по ИК-спектрам его N-трифторацетата в пленках, полученных из раствора в гексафторизопропаноле. С этой целью осуществлено трифторацетилирование свободных NH<sub>2</sub>-групп хитина в его растворе в гексафторизопропаноле ангиридом трифторуксусной кислоты и по полосе карбонила трифторацетамида ( $1720\text{ cm}^{-1}$ ) определено содержание трифторацетилированных NH<sub>2</sub>-групп. Предлагаемый спектральный способ определения степени ацетилирования хитина применим для образцов хитина, растворимых в гексафторизопропаноле.

*Ключевые слова:* ИК-спектры; степень ацетилирования; хитин; трифторацетилирование.

Природный полисахарид хитин, поли(N-ацетил-D-глюкозамин), широко распространен в природе. Использование самого хитина затруднено из-за его плохой растворимости. Хитозан, получаемый из хитина путем частичного или полного дезацетилирования щелочью, а также другие производные, полученные на основе хитозана, обладают лучшей растворимостью и находят применение в различных отраслях промышленности, таких, как химическая, медицинская, и в сельском хозяйстве [1 - 3]. Физические и химические свойства этих полимеров зависят от достигнутой степени деацетилирования хитина. Полная характеристика образцов требует точных и быстрых методов определения числа свободных остатков глюкозамина.

Степень ацетилирования хитина и хитозана определяется химическими методами: кислотным гидролизом ацетамидных групп с последующим титрованием образующихся свободной уксусной кислоты [4] и аминогрупп [5]; определением свободных аминогрупп реакцией с нингидрином [6] и пикриновой кислотой [7]; дезаминированием остатков глюкозамина азотистой кислотой [8]. Химические методы достаточно достоверны, но относительно сложны в исполнении и требуют много времени.

Спектральные методы более просты, требуют меньше времени и достаточно достоверны при определении степени ацетилирования хитина. Содержание N-ацетата может быть определено с помощью ИК-спектроскопии [9 - 12], УФ-спектрометрии [13,14], измерения КД [15] и ЯМР-спект-

троскопии [16]. Для хитозана, который в отличие от хитина обладает лучшей растворимостью, был предложен способ определения степени ацетилирования по ИК-спектрам пленок, полученных из его раствора в водной уксусной кислоте. Измерение производится по отношению интенсивности в максимуме полосы поглощения колебания карбонила ацетамидной группы (Амид I) и полосы поглощения валентного колебания гидроксильных групп [12]. При очень низком содержании N-ацетатов (менее 10%) большую точность дают измерения по отношению интенсивности полосы Амид I к полосе валентного -CH-колебания при  $2867\text{ cm}^{-1}$  [10] или измерения с помощью КД-спектроскопии [15]. Для хитина из-за его плохой растворимости эти методы неприемлемы. Для него был предложен метод определения степени ацетилирования по ИК-спектрам образцов в твердой фазе, которые в виде порошков запрессовываются в таблетки из бромистого калия [9]. Измерение осуществляется по отношению интенсивности полосы поглощения деформационного колебания NH ацетамидной группы (Амид II) и полосы поглощения валентного колебания -CH при  $2878\text{ cm}^{-1}$ . Трудности, возникающие при количественных измерениях интенсивности ИК-полос для твердых образцов, связаны прежде всего с приготовлением для анализа самих полисахаридных образцов и степенью их неоднородности, приводящей к рассеиванию излучения и искажению ИК-спектров.

Предлагаемый в настоящей работе спектральный метод определения степени ацетилирования (в %) хитина ( $100 - \alpha$ , где  $\alpha$  – содержание свободных

аминогрупп) лишен этих недостатков, так как основан на измерениях ИК-спектров пленок хитина, полученных из его растворов в гексафторизопропаноле (HFIP). Растворимость хитина в HFIP [17] позволяет производить N-трифторацетилирование присутствующих в хитине свободных аминогрупп. В работе [18] было показано, что обработка метилгликозидов 2-ацетамидо-2-дезокси-моносахаров в растворе трифтруксусной кислоты ангидридом этой же кислоты при 20°C быстро дает их метил-2-ацетамидо-2-дезокси-3,4,6-три-O-трифторацетилгликозиды и лишь при выдерживании при 100°C в течение 48 ч происходит переамидирование, приводящее к метил-2-трифторацетамило-2-дезокси-3,4,6-три-O-трифторацетилгликозидам. Предлагаемые нами условия трифторацетилирования свободных аминогрупп в растворе хитина (20 ч, 20°C, см. "Экспер. часть") не вызывают трансамидирования ацетамидных групп.

При обработке раствора хитина в HFIP ангидридом трифтруксусной кислоты образуются O- и N-трифторацетаты. В ИК-спектре пленки, полученной из такого раствора, присутствует интенсивная полоса 1794  $\text{cm}^{-1}$ , принадлежащая валентному колебанию карбонила 3,6-O-бистрифторацетатов. O-Трифторацетильные группы удаляли из O,N-трифторацетилированного хитина обработкой пленок спиртовым раствором аммиака (см. "Экспер. часть"). В ИК-спектре пленки N-трифторацетилированного хитина полоса поглощения карбонила, принадлежащая трифторацетамиду, находится при 1720  $\text{cm}^{-1}$ , достаточно далеко от полосы Амид I ацетамидной группы хитина (1660  $\text{cm}^{-1}$ ). Это позволяет по интенсивности в максимуме полосы 1720  $\text{cm}^{-1}$  количественно определять содержание трифторацетилированных аминогрупп, т.е. свободных NH<sub>2</sub>-групп в исходном хитине. Вклад поглощения от полосы Амид I (1660  $\text{cm}^{-1}$ ) в максимуме поглощения полосы карбонила трифторацетамида (1720  $\text{cm}^{-1}$ ) составляет менее 2%, что было измерено по ИК-спектру исходного хитина в пленке, полученной из его раствора в HFIP.

Содержание трифторацетамида в трифторацетилированном хитине определяли из ИК-спектров пленок по отношению ( $R$ ) интенсивностей в максимуме полос поглощения валентного колебания карбонила трифторацетамида (1720  $\text{cm}^{-1}$ ) и валентного колебания сахарного кольца (1073  $\text{cm}^{-1}$ ), выбранного нами в качестве внутреннего стандарта. С этой целью нами были исследованы в качестве моделей N-трифторацетилированные производные хитозанов с различной степенью ацетилирования. N-Трифторацетилированные производные хитозанов получали следующим способом. Производили полное O,N-трифторацетилирование хитозана простой процедурой обработки рас-

твora хитозана в трифтруксусной кислоте ангидридом этой же кислоты [19] (20 ч, 20°C, см. "Экспер. часть"). O-Трифторацетильные группы удаляли из O,N-трифторацетилированного хитозана обработкой пленок спиртовым раствором аммиака (см. "Экспер. часть"). В ИК-спектре N-трифторацетилированного хитозана в пленке полоса поглощения карбонила трифторацетамида имеет частоту 1712  $\text{cm}^{-1}$ , которая несколько ниже, чем в пленках N-трифторацетилированных производных хитина 1720  $\text{cm}^{-1}$ . В то же время частота полосы Амид II плоского деформационного колебания NH-групп (1566  $\text{cm}^{-1}$ ) для N-трифторацетилированных производных хитозана немного выше, чем для N-трифторацетилированных производных хитина (1560  $\text{cm}^{-1}$ ). Наблюдаемое различие в значениях частот для карбонилов трифторацетамида (1720, 1712  $\text{cm}^{-1}$ ) и Амид II (1560 и 1566  $\text{cm}^{-1}$ ) в ИК-спектрах N-трифторацетилированных производных хитина и хитозана соответственно может быть обусловлено влиянием водородных связей >C=O...H-N<, которые в хитине, по данным рентгеноструктурного анализа, образуются между соседними цепями полимера [20]. N-Трифторацетилированный хитозан можно рассматривать как хитин, где вместо ацетатов присутствуют трифторацетаты. Здесь также, вероятно, образуются водородные связи типа >C=O...H-N<, более прочные, чем в хитине, так как известно, что с увеличением прочности водородной связи частота валентного колебания карбонила понижается, а плоского деформационного колебания повышается.

Нами были измерены отношения ( $R$ ) интенсивности в максимуме полосы (1712  $\text{cm}^{-1}$ ) к интенсивности в максимуме полосы сахарного кольца (1073  $\text{cm}^{-1}$ ) в качестве внутреннего стандарта для N-трифторацетилированных производных хитозанов с различной степенью ацетилирования. Экстраполяция этих значений  $R$  к полностью дезацетилированному хитину (рисунок) дает значение 1.33, которое позволяет измерять содержание трифторацетамидов, эквивалентное содержанию свободных NH<sub>2</sub>-групп, по ИК-спектрам N-трифторацетилированных хитинов в пленках согласно уравнению

$$\alpha = (R/1.33) \times 100\%,$$

где  $\alpha$  – содержание свободных NH<sub>2</sub>-групп.

Предлагаемым способом мы измерили степень ацетилирования (как 100 –  $\alpha$ , %) для трех образцов хитина из разных источников: 80 - 81% для хитина-1 из панциря краба камчатского; 88 - 89% для хитина-2 из хитиновых тяжей конечностей краба камчатского; 87 - 88% для хитина-3 из пера кальмара тихоокеанского. Содержание ацетатов, определенное для хитина-1 из панциря краба

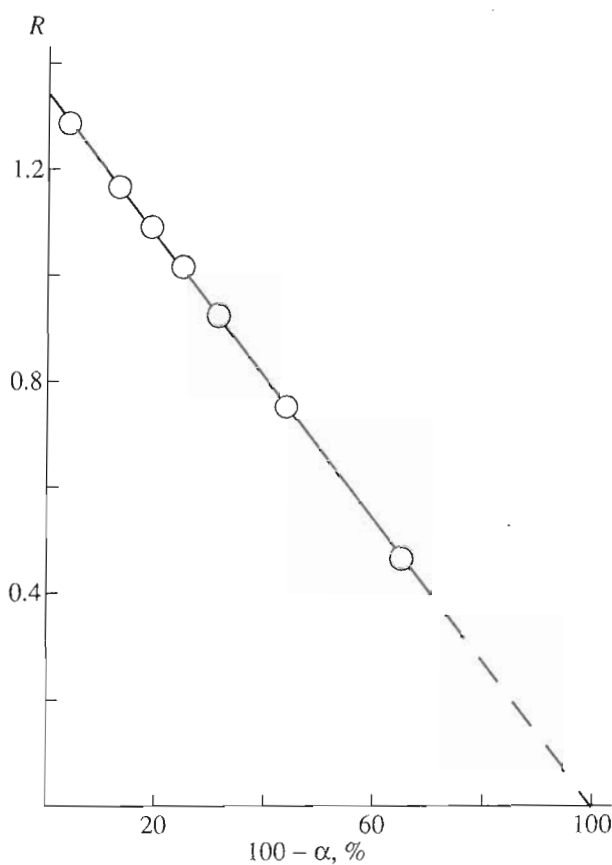
камчатского (80%), близко к содержанию ацетатов (78%) для хитина из панциря красного краба (японский), определенному в работе [17] химическим методом.

## ЭКСПЕРИМЕНТАЛЬНАЯ ЧАСТЬ

**Образцы хитина и хитозана.** Хитин-1 из панциря краба камчатского, хитин-2 из хитиновых тяжей конечностей краба камчатского и хитин-3 из пера кальмара тихоокеанского получали при одинаковых условиях дегидратации и димерализации, как описано в работе [21].

Пять образцов хитозана было получено из хитина-1 щелочным дезацетилированием в 40% NaOH при 110°C. Различная степень дезацетилирования (96, 88, 82, 75 и 69%) достигалась варированием времени дезацетилирования. Хитозаны с высоким содержанием ацетатов (50% и более), полученные из хитина щелочным дезацетилированием, не растворяются в трифтормуксусной кислоте. Поэтому два образца хитозана с высоким содержанием ацетатов (45 и 65%) были получены ацетилированием хитозана с высокой степенью дезацетилирования (96%) ангидридом уксусной кислоты в водно-метанольной среде. Для этого 100 мг хитозана со степенью дезацетилирования 96% растворяли в 5 мл 1% водной уксусной кислоты и добавляли 6 мл метанола. В полученный раствор хитозана добавляли для первого образца 30, а для второго 50 мг ангидрида уксусной кислоты и выдерживали растворы 1 ч при 20°C. Реакцию ацетилирования останавливали добавлением в реакционную смесь 10% раствора аммиака в метаноле. Полученный осадок отмывали водой на фильтре до нейтрального значения pH, сушили метанолом и серным эфиром. Степень ацетилирования всех образцов хитозанов определяли по ИК-спектрам, согласно методу [12].

**Получение N-трифтормуксусных производных хитина.** 10 мг хитина растворяли в 1 мл HFIP (Fluka AG. Chem. Fabrik CH-9470 Buchs) на магнитной мешалке в течение 20 ч при 20°C. В полученный вязкий раствор добавляли 0.2 - 0.3 мл ангидрида трифтормуксусной кислоты (марки ч.) и выдерживали 20 ч при 20°C на магнитной мешалке. Дальнейшее выдерживание раствора не показывало увеличения содержания трифтормуксусной кислоты. Около 0.1 - 0.2 мл раствора наносили на окно из фтористого кальция, слегка подсушивали на воздухе до образования пленки и досушивали в сушильном шкафу при 100°C в течение 15 мин. Остывшую пленку на подложке обрабатывали 1 мин 1 мл 5% раствора аммиака в этаноле. После этого пленку промывали дважды по 2 мл этанола, сушили 1 ч в сушильном шкафу при 170 - 180°C. Высушивание пленок при такой температуре полностью удаляет влагу в образцах хитина и не приводит к их термическому разложению [22].



Зависимость величины отношения интенсивности ( $R$ ) в максимуме полосы карбонила трифтормуксусной кислоты ( $1712 \text{ cm}^{-1}$ ) и сахарного кольца ( $1073 \text{ cm}^{-1}$ ) в ИК-спектрах пленок N-трифтормуксусных производных хитозана от степени ацетилирования.

**Получение N-трифтормуксусных производных хитозана.** 10 мг хитозана растворяли в 1 мл трифтормуксусной кислоты (марки ч., фракция, кипящая при 72°C, перегнанная над небольшим количеством пятиокиси фосфора) в течение 2 ч при 20°C на магнитной мешалке. В полученный вязкий раствор добавляли 0.2 - 0.3 мл ангидрида трифтормуксусной кислоты и выдерживали 20 ч при 20°C на магнитной мешалке. Пленки получали аналогично описанному выше для N-трифтормуксусных производных хитина. О полноте N-трифтормуксусного ацетилирования судили по насыщению величины отношения ( $R$ ) интенсивности в максимуме полосы поглощения карбонила трифтормуксусной кислоты  $1712 \text{ cm}^{-1}$  к интенсивности в максимуме полосы поглощения колебания сахарного кольца  $1073 \text{ cm}^{-1}$  от времени реакции после дезацетилирования О-трифтормуксусных групп 5% раствором аммиака в этаноле (аналогично описанному выше для пленок хитина). Полноту N-трифтормуксусного ацетилирования также подтверждает совпадение отношения содержания N-трифтормуксусных групп для любой пары N-трифтормуксусных производных хитозана.

производных образцов хитозана с отношением содержания в них свободных аминогрупп.

**Регистрация ИК-спектров.** ИК-спектры хитина, хитозана и их производных в пленках регистрировали на подложках из фтористого кальция на спектрофотометре Specord M80 (Karl Zeiss, Jena). Пленки перед регистрацией сушили 1 ч в сушильном шкафу при 170 - 180°C. Поглощение реперных полос в спектрах не превышало 1. Прибор калибровали по известным частотам полос пленки полистирола с точностью  $\pm 1 \text{ cm}^{-1}$ .

### СПИСОК ЛИТЕРАТУРЫ

1. Muzzarelli R.A.A. Natural Chelating Polymers. N.Y.: Pergamon Press, 1973. P. 177 - 227.
2. Muzzarelli R.A.A. Chitin. Oxford: Pergamon Press, 1977.
3. Chitin in Nature and Technology / Eds R.A.A. Muzzarelli, C. Jeuniaux, G.W. Gooday. N.Y.: Plenum Press, 1986.
4. Kurita K., Sannan T., Iwakura Y. // Makromol. Chem. 1977. V. 178. P. 3197 - 3202.
5. Sannan N., Kurita K., Iwakura Y. // Makromol. Chem. 1976. V. 177. P. 3589 - 3595.
6. Fahmy A.R., Neiderweiser A., Pataki G., Braner M. // Helv. Chim. Acta. 1961. V. 44. P. 2022 - 2026.
7. Neugebauer W.A., Neugebauer E., Brzezinski R. // Carbohydr. Res. 1989. V. 189. P. 363 - 367.
8. Streker G., Piece-Cretel A., Fournet B., Spik G., Montrenil J. // Anal. Biochem. 1981. V. 111. P. 17 - 26.
9. Sannan N., Kurita K., Ogura K., Iwakura Y. // Polymer. 1978. V. 19. P. 458 - 459.
10. Miy M., Iwamoto R., Yoshikawa S., Mima S. // Int. J. Biol. Macromol. 1980. V. 2. P. 323, 324.
11. Moore G.K., Roberts G.A.F. // Int. J. Biol. Macromol. 1980. V. 2. P. 115, 116.
12. Domzy J.G., Roberts G.A.F. // Makromol. Chem. 1985. V. 186. P. 1671 - 1677.
13. Aiba S. // Int. J. Biol. Macromol. 1986. V. 6. P. 173 - 176.
14. Muzzarelli R.A.A., Rocchetti R. // Carbohydr. Polym. 1985. V. 5. P. 461 - 472.
15. Domard A. // Int. J. Biol. Macromol. 1987. V. 9. P. 333 - 336.
16. Hirano S., Tsuneyasu S., Kondo Y. // Agric. Biol. Chem. 1981. V. 45. P. 1335 - 1339.
17. Rutherford F.A., Austin P.R. // Proc. of the I Internat. Conf. on Chitin / Chitosan / Eds R.A.A. Muzzarelli, E.R. Pariser. Cambridge, Massachusetts: Massachusetts Institute of Technology, 1978. P. 182 - 192.
18. Nilsson B., Svensson S. // Carbohydr. Res. 1978. V. 63. P. 377 - 380.
19. Hirano S., Kondo Y. // Chem. Soc. Jpn. 1982. P. 1622 - 1625.
20. Minke R., Blakwell J. // J. Mol. Biol. 1978. V. 120. P. 167 - 181.
21. No H.K., Meyers S.P., Lee K.S. // J. Agricult. and Food Chem. 1989. V. 37. P. 575 - 579.
22. Kataoka S., Ando T. // Kobunshi Ronbunshu. 1979. V. 36. P. 175 - 181.

## Determination of Chitin Acetylation Degree by Infrared Spectroscopy

V. P. Glazunov and S. E. Odinokov

Pacific Institute of Oceanology, Russian Academy of Sciences, Far East Division,  
ul. Baltiiskaya 43, Vladivostok, 690041 Russia

**Abstract** – A method for determination of the degree of chitin acetylation by IR spectroscopy of the films prepared from a solution of chitin *N*-trifluoroacetate in hexafluoroisopropanol was developed. For this purpose, free NH<sub>2</sub>-groups of chitin were trifluoroacetylated by trifluoroacetic anhydride in hexafluoroisopropanol; and a degree of trifluoroacylated amino groups was determined using the absorption band of trifluoroacetamide ( $1720 \text{ cm}^{-1}$ ). The method proposed is applicable for the hexafluoroisopropanol-soluble chitin samples.

**Key words:** IR spectra, degree of acetylation, chitin, trifluoroacetylation.